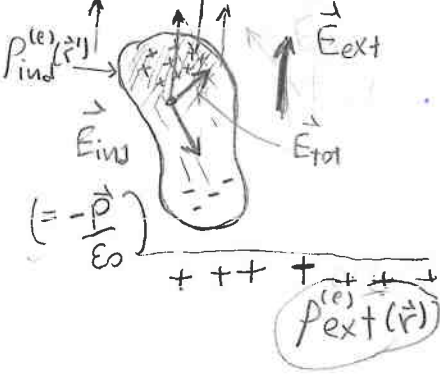


Função dieletrica e blindagem

Uma quantidade importante em um sistema eletrônico é a sua resposta à ação de um campo elétrico externo \vec{E}_{ext} . Essa "resposta" pode ser expressa em termos de função de correlação através da Teoria de Respostas Lineares, assim, ser calculada em termos de diagramas de Feynman.

Fórmula de Kubo para a função dieletrica

A aplicação de um campo elétrico modifica a distribuição de cargas em um sistema eletrônico, levando a polarização interna e a um campo elétrico "induzido" \vec{E}_{ind} (efeito dos dipolos induzidos por \vec{E}_{ext}). Assim, o campo elétrico total será



$$\vec{E}_{tot} = \vec{E}_{ext} + \vec{E}_{ind}$$

$$(\vec{E}) \quad (\vec{D}) \quad (-\frac{\vec{P}}{\epsilon_0})$$

$$(\text{ou } \vec{E} = \frac{\vec{D}}{\epsilon_0} - \frac{\vec{P}}{\epsilon_0})$$

$$(\Rightarrow \vec{D} = \epsilon_0 \vec{E} + \vec{P})$$

$$\begin{cases} \phi_{tot} = \phi_{ext} + \phi_{ind} \\ P_{tot}^{(e)}(\vec{r}) = P_{ext}^{(e)}(\vec{r}) + \underbrace{P_{ind}^{(e)}(\vec{r})}_{\text{sistema}} \end{cases}$$

$$\begin{cases} \nabla^2 \phi_{tot} = -P_{tot}^{(e)}/\epsilon_0 \\ \nabla \phi_{ext} = -P_{ext}^{(e)}/\epsilon_0 \\ \nabla \phi_{ind} = -P_{ind}^{(e)}/\epsilon_0 \end{cases}$$

Em muitos casos, ϕ_{tot} e ϕ_{ext} podem ser relacionados por um relacionamento linear na forma:

$$\phi_{tot}(\vec{r}, t) = \int d\vec{r}' \int dt' \epsilon^{-1}(\vec{r}t, \vec{r}'t') \phi_{ext}(\vec{r}', t')$$

onde $\epsilon(\vec{r}t, \vec{r}'t')$ é a função dieletrica do material

caso isotrópico

$$\phi_{ext}(\vec{r}) = \epsilon \phi_{tot}(\vec{r})$$

$\epsilon \rightarrow$ permissividade elétrica

Essa relação linear vale se o potencial externo $\phi_{ext}(\vec{r}, t)$ não for muito forte. Nesse caso, o hamiltoniano de "perturbação" será $H_1(t) = \int d^3\vec{r} \underbrace{\hat{\rho}^{(e)}(\vec{r})}_{\text{sistema}} \phi_{ext}(\vec{r}, t)$ onde consideraremos apenas o efeito de $\phi_{ext}(\vec{r}, t)$ no sistema, que será descrito por $H = H_0 + H_1$, sendo $\hat{\rho}^{(e)}$ a densidade de carga do sistema (não inclui $\rho_{ext}^{(e)}$). Nesse caso, a densidade de carga induzida será a resposta do sistema a atrações de H_1 :

$$\rho_{ind}^{(e)}(\vec{r}, t) = \langle \hat{\rho}_{ind}^{(e)} \rangle - \langle \hat{\rho}^{(e)} \rangle_0 = \begin{pmatrix} \text{Fórmula} \\ \text{de} \\ \text{Rubo} \end{pmatrix} = \int_{t_0}^{\infty} C_{\hat{\rho}^{(e)}, H_1}^R(\vec{r}, t') dt'$$

onde $C_{\hat{\rho}^{(e)}, H_1}^R(\vec{r}, t')$ é a correlação (operador escrito na Rep. de Interações)

$$C_{\hat{\rho}^{(e)}, H_1}^R(\vec{r}, t, t') = -i \Theta(t-t') \langle [\hat{\rho}_I^{(e)}(\vec{r}, t), \hat{H}_1(t')]_- \rangle.$$

Como $H_1(t)$ depende essencialmente de $\rho^{(e)}$ (não considerar em a quantificações de $\phi_{ext}(\vec{r}, t)$, tratando-o como um campo "elétrico"), podemos escrever:

$$\boxed{\rho_{ind}^{(e)}(\vec{r}, t) = \int_{t_0}^{\infty} d\vec{r}' \int_{t_0}^{\infty} dt' \chi_e^R(\vec{r}, t, \vec{r}', t') \phi_{ext}(\vec{r}', t') \quad \text{onde}}$$

$$\boxed{\chi_e^R(\vec{r}, t, \vec{r}', t') = -i \Theta(t-t') \langle [\hat{\rho}^{(e)}(\vec{r}, t), \hat{\rho}^{(e)}(\vec{r}', t')]_- \rangle_0}$$

$\hookrightarrow \chi_e^R$ funções de correlações (retardadas) de densidade-densidade ou "funções de polarizabilidade"

Uma vez calculada $\rho_{\text{ind}}^{(e)}(\vec{r}, t) = \langle \hat{\rho}^{(e)} \rangle - \langle \hat{\rho}^{(e)} \rangle_0$, escrevemos

$$\phi_{\text{ind}}(\vec{r}, t) \text{ como: } \boxed{\phi_{\text{ind}}(\vec{r}) = \int d\vec{r}'' V(\vec{r}-\vec{r}'') \rho_{\text{ind}}^{(e)}(\vec{r}'')} \text{ de modo que}$$

$$\begin{aligned} \phi_{\text{tot}}(\vec{r}, t) &= \phi_{\text{ext}}(\vec{r}, t) + \int d\vec{r}'' \int d\vec{r}' \int_{t_0}^{\infty} dt' \chi_e^R(\vec{r}', t', \vec{r}' t') \phi_{\text{ext}}(\vec{r}', t') \\ &\equiv \int d\vec{r}' dt' \tilde{\epsilon}(\vec{r}, t, \vec{r}', t') \phi_{\text{ext}}(\vec{r}', t') \end{aligned}$$

com

$$\boxed{\tilde{\epsilon}(\vec{r}, t, \vec{r}', t') = \delta(\vec{r}-\vec{r}')} \delta(t-t') + \int d\vec{r}'' V(\vec{r}-\vec{r}'') \chi_e^R(\vec{r}'', t, \vec{r}', t')}$$

Para o caso de sistemas com invariancia de translação:

$$\begin{aligned} \tilde{\epsilon}(\vec{q}, \omega) &= \int d(t-t') e^{i\omega(t-t')} \int d(\vec{r}-\vec{r}') e^{-i\vec{q} \cdot (\vec{r}-\vec{r}')} \tilde{\epsilon}(\vec{r}-\vec{r}', t-t') \\ (\tilde{\epsilon}(\vec{r}, t, \vec{r}', t')) &= \int \frac{d\omega}{(2\pi)} \int \frac{d^3 \vec{q}}{(2\pi)^3} e^{i\vec{q} \cdot (\vec{r}-\vec{r}') - i\omega(t-t')} \tilde{\epsilon}(\vec{q}, \omega) \end{aligned}$$

De modo que

$$\boxed{\tilde{\epsilon}(\vec{q}, \omega) = 1 + V(\vec{q}) \chi_e^R(\vec{q}, \omega)} \quad \text{onde} \quad \boxed{V(\vec{q}) = \int d^3(\vec{r}-\vec{r}') e^{-i\vec{q} \cdot (\vec{r}-\vec{r}')} U(\vec{r}-\vec{r}')}}$$

é a interação Coulombiana "pura"

Para calcular $\chi_e^R(\vec{q}, \omega)$ lembramos que

$$\rho_{\sigma}^{(e)}(\vec{r}) = \psi_{\sigma}^*(\vec{r}) \psi_{\sigma}(\vec{r}) = \frac{1}{V_{\text{el}}} \sum_{\vec{k} \vec{k}'} e^{i(\vec{k}'-\vec{k}) \cdot \vec{r}} C_{\vec{k}\sigma}^* C_{\vec{k}'\sigma} = \frac{1}{V_{\text{el}}} \sum_{\vec{k} \vec{q}} e^{i\vec{q} \cdot \vec{r}} C_{\vec{k}\sigma}^* C_{(\vec{k}+\vec{q})\sigma}$$

$$\Rightarrow \rho_{\sigma}^{(e)}(\vec{r}) = \frac{1}{V_{\text{el}}} \sum_{\vec{q}} \left[\rho_{\sigma}^{(e)}(\vec{q}) \right] e^{i\vec{q} \cdot \vec{r}} \quad \text{onde} \quad \boxed{\rho_{\sigma}^{(e)}(\vec{q}) = \sum_{\vec{k}} C_{\vec{k}\sigma}^* C_{(\vec{k}+\vec{q})\sigma}}$$

Convém relacionar $\chi^R(\vec{q}, \omega)$ com a expansão diagramática.

Primeiro, calculamos $\chi^R(\vec{q}, t-t')$ para um sistema uniforme:

$$\chi^R(\vec{q}, t-t') = \int d^3\vec{r} \chi^R(\vec{r}-\vec{r}', t-t') e^{-i\vec{q} \cdot (\vec{r}-\vec{r}')}$$

$$= -i\Theta(t-t') \int d^3\vec{r} \langle [\hat{\rho}^{(e)}(\vec{r}, t), \hat{\rho}^{(e)}(\vec{r}', t')]_- \rangle e^{-i\vec{q} \cdot (\vec{r}-\vec{r}')}}$$

$$= -i\Theta(t-t') \int d^3\vec{r} \frac{1}{V_{\text{el}}} \sum_{\vec{q}_1 \vec{q}_2} \langle [\hat{\rho}^{(e)}(\vec{q}_1, t), \hat{\rho}^{(e)}(\vec{q}_2, t')]_- \rangle_0$$

$$\left(\frac{1}{V_{\text{el}}} \int d^3\vec{r} e^{i(\vec{q}_1 \cdot \vec{q}) \cdot \vec{r}} = \delta_{\vec{q}_1 \vec{q}} \right) \rightarrow \times \exp [i(\vec{q}_1 \cdot \vec{r} + \vec{q}_2 \cdot \vec{r}' - \vec{q} \cdot \vec{r} + \vec{q} \cdot \vec{r}')]$$

$$= -i\Theta(t-t') \frac{1}{V_{\text{el}}} \sum_{\vec{q}_2} \langle [\hat{\rho}^{(e)}(\vec{q}, t), \hat{\rho}^{(e)}(\vec{q}_2, t')]_- \rangle_0 e^{i(\vec{q}_2 + \vec{q}) \cdot \vec{r}'}$$

nos pode de ponder de \vec{r}' logo
 $\vec{q}_2 = -\vec{q}$ (sist. homogêneo)

$$\boxed{\chi^R(\vec{q}, t-t') = -i\Theta(t-t') \frac{1}{V_{\text{el}}} \langle [\hat{\rho}^{(e)}(\vec{q}, t), \hat{\rho}^{(e)}(-\vec{q}, t')]_- \rangle_0}$$

Para obter $\chi^R(\vec{q}, \omega)$, fazemos $\chi^R(\vec{q}, \omega) = \int d(t-t') e^{i\omega(t-t')} \chi^R(\vec{q}, t-t')$

Antes, escrevemos $\chi^R(\vec{q}, t-t')$ na forma: $(\rho(\vec{q}, t) = \sum_k C_{k\sigma}^+(t) C_{k+\vec{q}\sigma}(t))$

$$\chi^R(\vec{q}, t-t') = -i\Theta(t-t') \frac{1}{V_{\text{el}}} \sum_{\substack{K \\ K' \\ \sigma \\ \sigma'}} \langle [C_{K\sigma}^+ C_{K+\vec{q}\sigma}(t), C_{K'\sigma'}^+ C_{K'+\vec{q}\sigma'}(t')]_- \rangle_0$$

A questão é: como calcular $\chi^R(\vec{q}, \omega)$? Podemos usar diagramas para calcular:

$$\boxed{\chi(\vec{q}, t-t') = -i \frac{1}{V_{\text{el}}} \langle T(\hat{\rho}^{(e)}(\vec{q}, t) \hat{\rho}^{(e)}(-\vec{q}, t')) \rangle}$$

$$= -i \frac{1}{V_{\text{el}}} \sum_{\substack{K \\ K' \\ \sigma \\ \sigma'}} \langle T(C_{K\sigma}^+ C_{K+\vec{q}\sigma}(t) C_{K'\sigma'}^+ C_{K'+\vec{q}\sigma'}(t')) \rangle_0$$

que é a versão "temporalmemente ordenada" de $\chi^R(\vec{q}, t-t')$.

Mas como relacionar a função temporalmente ordenada à função retardada? Esse é um ponto sutil e bastante importante. Em geral, observáveis são descritos em termos de funções de correlações retardadas (p. ex., Resposta Linear) enquanto que a análise diagramática a $t=0$ é, como vimos, adaptada a funções correlações temporalmente ordenadas.

A diferença (ou semelhança) entre $\chi^R(\vec{q}, \omega)$ e $\chi(\vec{q}, \omega)$ pode ser melhor apreciada na Rep. de Lehmann. Temos: $(H|m\rangle = E_m |m\rangle)$

$$\begin{aligned} \chi^R(\vec{q}, t-t') &= -\frac{i}{\hbar} \Theta(t-t') \sum_m \langle 0 | e^{iHt} \hat{P}^{(e)}(\vec{q}) e^{-iHt} | m \rangle \langle m | e^{iHt'} \hat{P}^{(e)}(-\vec{q}) e^{-iHt'} | 0 \rangle \\ &\quad - \langle 0 | e^{iHt'} \hat{P}^{(e)}(-\vec{q}) e^{-iHt'} | m \rangle \langle m | e^{iHt} \hat{P}^{(e)}(\vec{q}) e^{-iHt} | 0 \rangle \\ &= -\frac{i}{\hbar} \Theta(t-t') \sum_m \langle 0 | \hat{P}^{(e)}(\vec{q}) | m \rangle \langle m | \hat{P}^{(e)}(-\vec{q}) | 0 \rangle e^{-iE_m(t-t')} \\ &\quad - \langle 0 | \hat{P}^{(e)}(-\vec{q}) | m \rangle \langle m | \hat{P}^{(e)}(\vec{q}) | 0 \rangle e^{+iE_m(t-t')} \end{aligned}$$

$$\chi^R(\vec{q}, \omega) = \int_0^\infty d(t-t') e^{i\omega(t-t')} \frac{e^{-i\eta(t-t')}}{T} \boxed{\chi^R(\vec{q}, t-t')} \quad \underbrace{(t-t') > 0}_{\Rightarrow \omega \rightarrow \omega + i\eta} \Rightarrow \omega \rightarrow \omega + i\eta$$

pt convergência

$$\boxed{\chi^R(\vec{q}, \omega) = -\frac{1}{\hbar} \sum_m \frac{\langle 0 | \hat{P}^{(e)}(\vec{q}) | m \rangle \langle m | \hat{P}^{(e)}(-\vec{q}) | 0 \rangle}{\omega + i\eta - E_m} - \frac{\langle 0 | \hat{P}^{(e)}(-\vec{q}) | m \rangle \langle m | \hat{P}^{(e)}(\vec{q}) | 0 \rangle}{\omega + i\eta + E_m}} \quad (II)$$

Enquanto que, uma análise idêntica para $\chi(\vec{q}, t-t')$ nos leva a:

$$\begin{aligned} \chi(\vec{q}, t-t') &= -\frac{i}{\hbar} \left(\Theta(t-t') \sum_m \langle 0 | \hat{P}^{(e)}(\vec{q}) | m \rangle \langle m | \hat{P}^{(e)}(-\vec{q}) | 0 \rangle e^{-iE_m(t-t')} \right. \\ &\quad \left. + \Theta(t'-t) \sum_m \langle 0 | \hat{P}^{(e)}(-\vec{q}) | m \rangle \langle m | \hat{P}^{(e)}(\vec{q}) | 0 \rangle e^{+iE_m(t-t')} \right) \quad \begin{array}{l} t-t' > 0 \\ \hline \omega \rightarrow \omega + i\eta \end{array} \\ &\quad \begin{array}{l} t-t' < 0 \\ \hline \omega \rightarrow \omega - i\eta \end{array} \end{aligned}$$

$$\boxed{\chi(\vec{q}, \omega) = -\frac{1}{\hbar} \sum_m \frac{\langle 0 | \hat{P}^{(e)}(\vec{q}) | m \rangle \langle m | \hat{P}^{(e)}(-\vec{q}) | 0 \rangle}{\omega + i\eta - E_m} - \frac{\langle 0 | \hat{P}^{(e)}(-\vec{q}) | m \rangle \langle m | \hat{P}^{(e)}(\vec{q}) | 0 \rangle}{\omega - i\eta + E_m}} \quad (III)$$

Note a diferença no sinal de $i\eta$ no segundo termo das Eqs. (II) e (III). O sinal de " $-$ " do cosseno temporalmente ordenado aparece pois estamos fazendo a integral para $(t-t') < 0$ (devido a $\Theta(t'-t)$):

$$\int_{-\infty}^0 dt(t-t') e^{i\omega(t-t')} e^{+iE_m(t-t')} = - \int_{-\infty}^0 du e^{-i\omega u} e^{-iE_m u}$$

$w \rightarrow w - i\eta$
 p/ convergência
 $\lim_{u \rightarrow \infty} e^{-i(w-i\eta)u} \rightarrow 0$

$$= + \int_0^\infty du e^{-i(\bar{\omega} + E_m)u} = - \frac{e^{-i(\bar{\omega} + E_m)u}}{i(\bar{\omega} + E_m)} \Big|_0^\infty = - \frac{1}{\bar{\omega} - i\eta + E_m}$$

Esse termo, no entanto, tem polos apenas em valores negativos de ω (é da forma $(\omega - (-E_m + i\eta))^{-1}$ com $E_m > 0$ por hipótese), ou seja, excitações tipo "buraco". Se nos restringirmos apenas a $\omega > 0$ então:

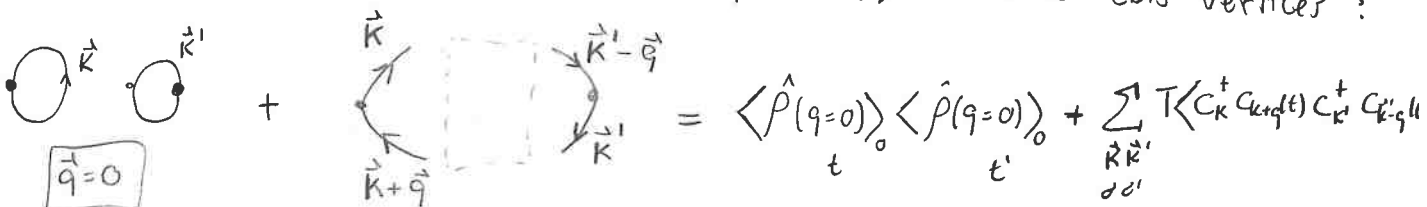
$$X^R(\vec{q}, \omega > 0) = X(\vec{q}, \omega) \quad (\omega \text{ real e positivo})$$

Vide Fetter
Eq 7.65a

(*) O melhor jeito para utilizar diagramas para obter funções de correlações retardadas é utilizando funções de Matsubara. Como veremos, nesse caso a continuidade analítica é bem mais fácil: $i\omega_n \rightarrow \omega + i\eta$.

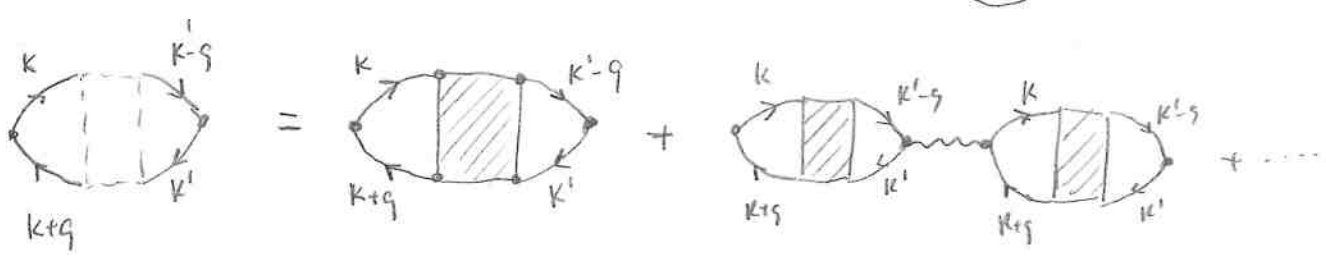
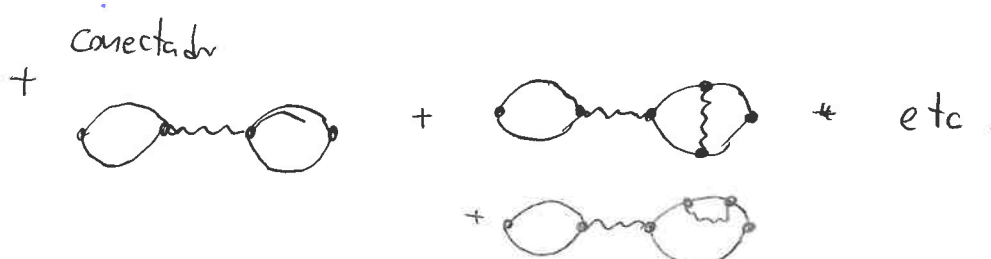
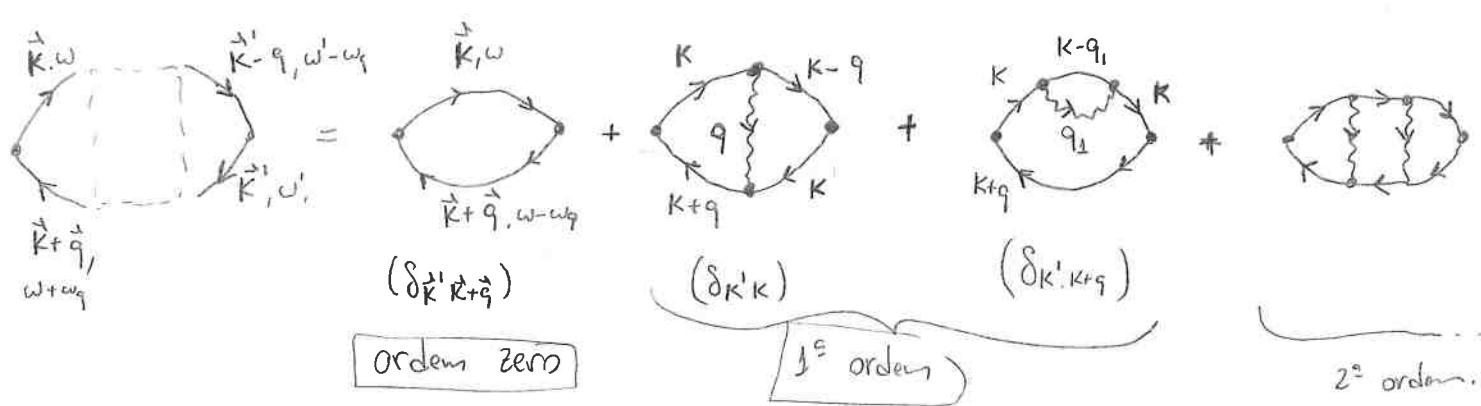
Resumo: calculando os diagramas para $X(\vec{q}, \omega)$, podemos obter $X^R(\vec{q}, \omega)$ e $\mathcal{E}^R(\vec{q}, \omega) = 1 + V(\vec{q}) X^R(\vec{q}, \omega)$ p/ $\omega > 0$. Quais são esses diagramas?

$X(\vec{q}, t-t') \propto \langle T(C_{\vec{K}0}^+ C_{\vec{K}+\vec{q}, t}(t) C_{\vec{K}'0'}^+ C_{\vec{K}'-\vec{q}, t'}(t')) \rangle$ envolve dois vértices:



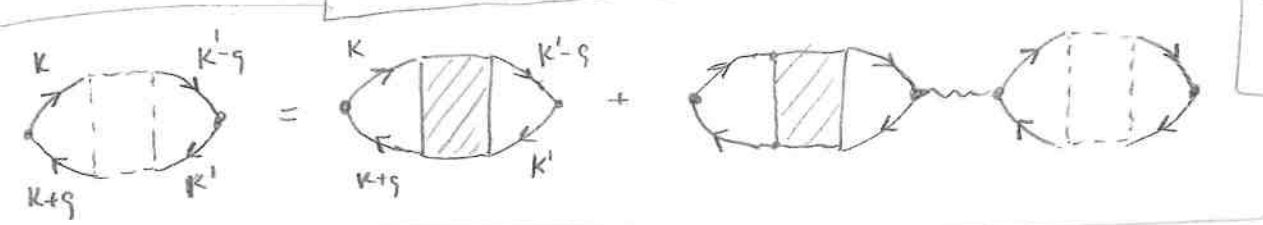
O primeiro termo é simplesmente o produto das densidades do estado fundamental (em tempos diferentes) com momento nulo ($\vec{q}=0$) e corresponde à contribuição uniforme (sem dependência em \vec{r}) para a resposta dieletrica do gás de elétrons. No modelo de Jellium, essa contribuição será anulada pelo "background" positivo (de forma similar à compensação do "termo de Hartree") e não contribui.

A contribuição para $X(\vec{q}, \omega_q)$ virá então de diagramas do tipo:



= soma de diagramas irreductíveis

Eq. de Dyson



O diagrama  será $-\chi(\vec{q}, \omega)$ (\checkmark loop fermiônico) (17)

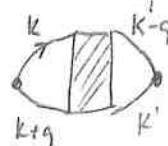
e podemos chamar  de " $-\chi^{\text{irred}}(\vec{q}, \omega)$ " de modo que escrevemos:

$$-\chi(\vec{q}) = -\chi^{\text{irred}}(\vec{q}) + \chi^{\text{irred}}(\vec{q}) V(\vec{q}) \chi(\vec{q}) \Rightarrow -\chi(\vec{q}) = \frac{-\chi^{\text{irred}}(\vec{q})}{1 - V(\vec{q}) \chi^{\text{irred}}(\vec{q})}$$

De modo que a função dieletrônica será:

$$\epsilon^{-1}(\vec{q}, \omega) = 1 + V(\vec{q}) \chi(\vec{q}) = 1 + \frac{V(\vec{q}) \chi^{\text{irred}}(\vec{q})}{1 - V(\vec{q}) \chi^{\text{irred}}(\vec{q})} = \frac{1}{1 - V(\vec{q}) \chi^{\text{irred}}(\vec{q})}$$

$\Leftrightarrow \boxed{\epsilon(\vec{q}, \omega_q) = 1 - V(\vec{q}) \chi^{\text{irred}}(\vec{q}, \omega_q)}$ que envolve apenas



Aproximação RPA para $\epsilon(\vec{q}, \omega_q)$: A aproximação RPA corresponde a

$$-\chi^{\text{irred}} = \frac{\text{Diagrama com setas e sombra}}{\text{Diagrama com setas}} \approx \frac{\text{Diagrama com setas}}{\text{Diagrama com setas}} \equiv -\chi_0(\vec{q}, \omega) \quad (\text{já calculado anteriormente})$$

de modo que

$$\boxed{-\chi^{\text{RPA}}(\vec{q}, \omega) = \frac{-\chi_0(\vec{q}, \omega)}{1 - V(\vec{q}) \chi_0(\vec{q}, \omega)}} \quad (\text{similar a } V^{\text{RPA}}(\vec{q}) = \frac{V(\vec{q})}{1 - V(\vec{q}) \chi_0(\vec{q})})$$

assim, nessa aproximação:

$$\boxed{\epsilon^{\text{RPA}}(\vec{q}, \omega_q) = 1 - V(\vec{q}) \chi_0(\vec{q}, \omega_q) = 1 - \frac{4\pi e^2}{q^2} \chi_0(\vec{q}, \omega_q)}$$

Lembrando que, para $\omega_q \approx 0$, $\chi_0(\vec{q}, 0) \approx -\frac{mK_F}{\pi^2}$ ($|\vec{q}| \ll K_F$)

\hookrightarrow Thomas-Fermi